

Ana Sofia Mendonça Borges

Abordagem Ortodôntica da Gestão de Espaço em Dentição Mista

ANEXOS

Universidade Fernando Pessoa
Faculdade de Ciências da Saúde

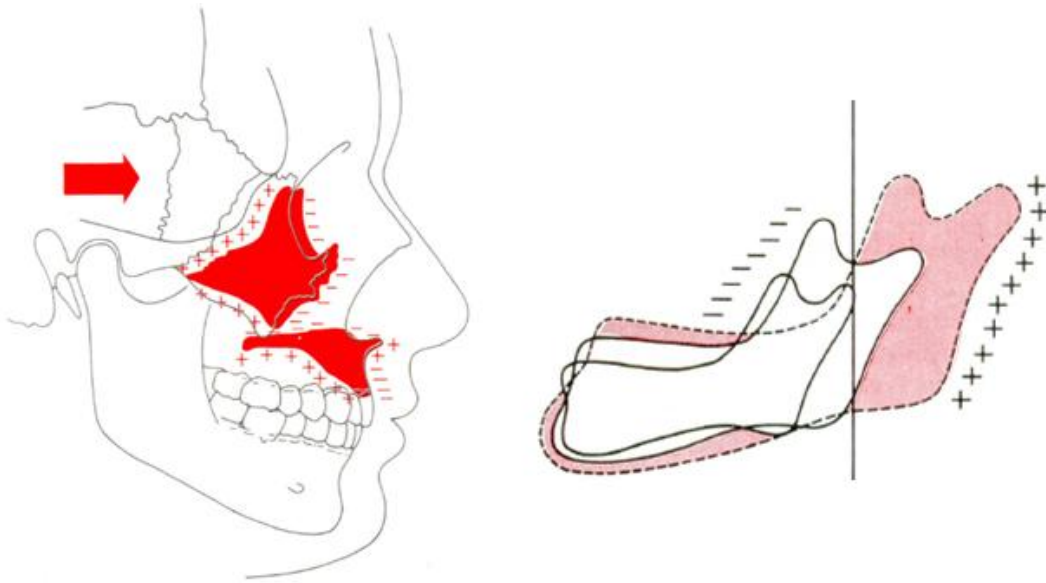
Porto, 2011

Índice de Anexos

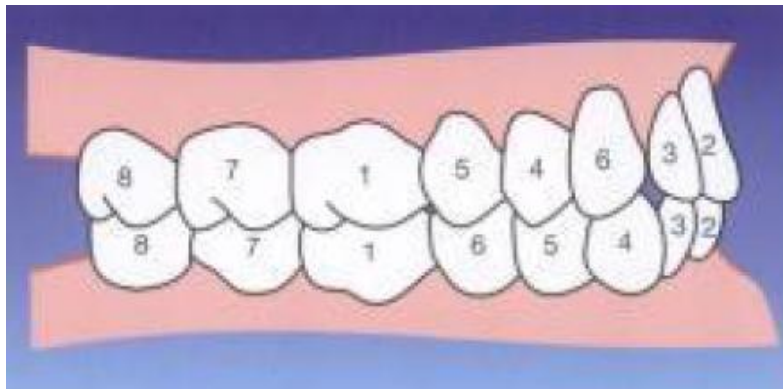
Anexo 1 - Representação esquemática dos fenômenos de remodelação por absorção e reabsorção.	xiii
Anexo 2 - Representação da sequência de erupção dos dentes permanentes.	xiii
Anexo 3 - Representação da forma das arcadas em “U” (esquerda) e em “V” (direita).	xiv
Anexo 4 - Representação esquemática dos espaços interdentários.	xiv
Anexo 5 - Representação esquemática do espaço de deriva.	xiv
Anexo 6 - Representação esquemática do desenvolvimento da dentição humana e crescimento da arcada dentária.	xv
Anexo 7 - Representação esquemática da Curva de Spee.	xv
Anexo 8 - Representação esquemática da Curva de Wilson.	xv
Anexo 9 - Representação esquemática de overjet aumentado (esquerda) e diminuído (direita).	xvi
Anexo 10 - Representação esquemática de overbite aumentado (esquerda) e diminuído (direita).	xvi
Anexo 11 - Imagem clínica de discrepância dento-maxilar.	xvi
Anexo 12 - Imagem clínica de um primeiro molar decíduo anquilosado.	xvii
Anexo 13 - Imagem radiográfica de um primeiro molar decíduo anquilosado.	xvii
Anexo 14 - Imagem clínica de macrodontia do 1.1.	xvii
Anexo 15 - Imagem clínica de geminação de dente com excesso de ocupação de espaço.	xviii
Anexo 16 - Imagem clínica de um dente supranumerário na região anterior (mesiodens).	xviii
Anexo 17 - Imagem radiográfica de um dente supranumerário na região antero-inferior.	xviii
Anexo 18 - Imagem radiográfica da erupção ectópica do 1º molar permanente.	xix
Anexo 19 - Compilação de formas de sucção digital (não nutritiva).	xix
Anexo 20 - Representação esquemática dos vários tipos de má-oclusão.	xix
Anexo 21 - Imagem clínica da situação de espaçamento generalizado entre os dentes anteriores.	xx
Anexo 22 - Imagem clínica da situação de diastema mediano superior, neste caso provocado pela presença de um mesiodens.	xx
Anexo 23 - Imagem clínica de avulsão de um dente anterior por traumatismo.	xxi
Anexo 24 - Imagem clínica de cáries posteriores muito evoluídas.	xxi
Anexo 25 - Representação esquemática dos estádios de Nolla (estádio 6 a 10).	xxii
Anexo 26 - Imagem clínica de microdontia localizada no 2.2.	xxii
Anexo 27 - Imagem radiográfica de agenesia dos dentes 3.5 e 4.5.	xxiii
Anexo 28 - Imagem representativa da susceptibilidade relativa das várias faces dos dentes decíduos (A<B; B=C; C<D; D=E; E>F; BC<DE; CD<EF).	xxiii
Anexo 29 - Esquema ilustrativo da sequência padrão de extracções seriadas. A, o diagnóstico inicial é feito pela deficiência de espaço com apinhamento dos incisivos. B, exodontia dos caninos decíduos, fornecendo espaço para o alinhamento dos incisivos.	

C, exodontia dos primeiros molares decíduos quando o pré-molar se encontra no estágio 8 de Nolla para acelerar a sua erupção. D, exodontia do primeiro pré-molar aquando da sua erupção, com conseqüente espaço para a erupção dos caninos.....	xxiv
Anexo 30 - Sequência clínica dos procedimentos de "stripping" do 1.2.....	xxv
Anexo 31 - Imagem laboratorial da banda adaptada e da asa conformada e imobilizada com cera.....	xxv
Anexo 32 - Imagem laboratorial (esquerda e centro) e clínica (direita) de um mantenedor fixo a banda e asa numa vista oclusal, lateral e cimentado em boca.	xxvi
Anexo 33 - Mantenedor fixo a coroa e asa numa visão lateral e oclusal.	xxvi
Anexo 34 - Mantenedor de Gerber.	xxvi
Anexo 35 - Mantenedor de Mayne numa vista lateral e oclusal.	xxvii
Anexo 36 - Mantenedor fixo a banda ou coroa com barra dupla numa vista lateral e oclusal.....	xxvii
Anexo 37 - Variações do mantenedor fixo a banda ou coroa com barra dupla numa vista lateral e oclusal.....	xxvii
Anexo 38 - Arco lingual numa visão oclusal no modelo e cimentado em boca.....	xxviii
Anexo 39 - Botão de Nance em visão oclusal no modelo e cimentado em boca.	xxviii
Anexo 40 - Barra transpalatina ou de Goshgarian numa visão oclusal no modelo e cimentada em boca.	xxviii
Anexo 41 - Mantenedor telescópico no modelo e pormenor do seu encaixe.	xxix
Anexo 42 - Mantenedor com guia eruptiva numa vista lateral.....	xxix
Anexo 43 - Mantenedor proprioceptivo numa vista oclusal e lateral.	xxx
Anexo 44 - Esquema representativo do aparelho de Willet's Modificado.	xxx
Anexo 45 - Aparelho de Willet's Modificado cimentado em boca e em Rx periapical.	xxx
Anexo 46 - Vista oclusal e lateral de um mantenedor de espaço de fibra de vidro reforçado com resina.	xxxii
Anexo 47 - Placa de Hawley Modificada numa visão oclusal e frontal.....	xxxii
Anexo 48 - Mantenedor termomoldável numa vista frontal e oclusal.	xxxii
Anexo 49 - Recuperador a bandas e molas numa vista oclusal e lateral.	xxxii
Anexo 50 - Duas variantes do recuperador de Gerber modificado.	xxxii
Anexo 51 - Recuperador de Garcia-Godoy.	xxxii
Anexo 52 – Dispositivo distalizador de molares, denominado Distal jet.....	xxxiii
Anexo 53 - Dispositivo distalizador de molares, denominado Pêndulo em K.....	xxxiii
Anexo 54 - Dispositivo distalizador de molares, denominado Headgear.....	xxxiv
Anexo 55 - Placa activa modificada como recuperador de espaço.	xxxiv

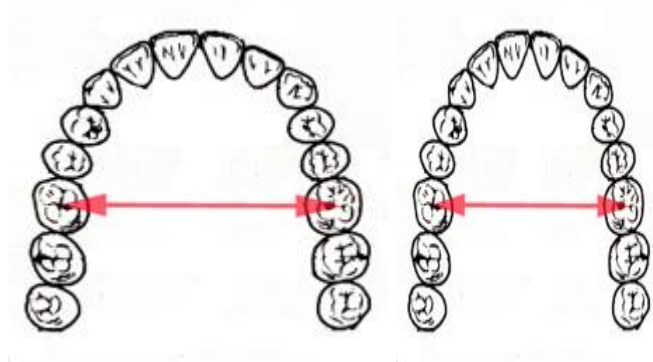
Anexos de Imagens



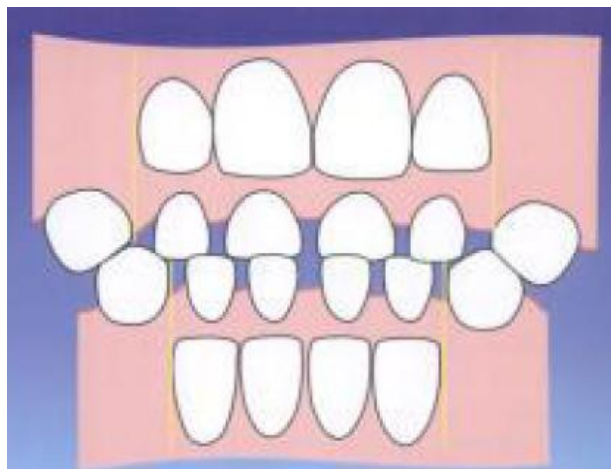
Anexo 1 - Representação esquemática dos fenômenos de remodelação por absorção e reabsorção.



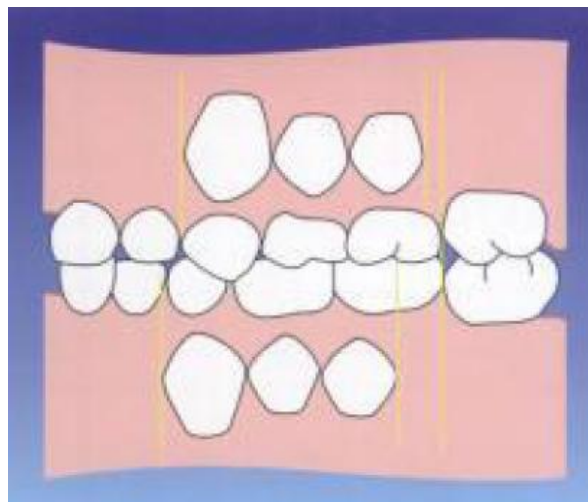
Anexo 2 - Representação da sequência de erupção dos dentes permanentes.



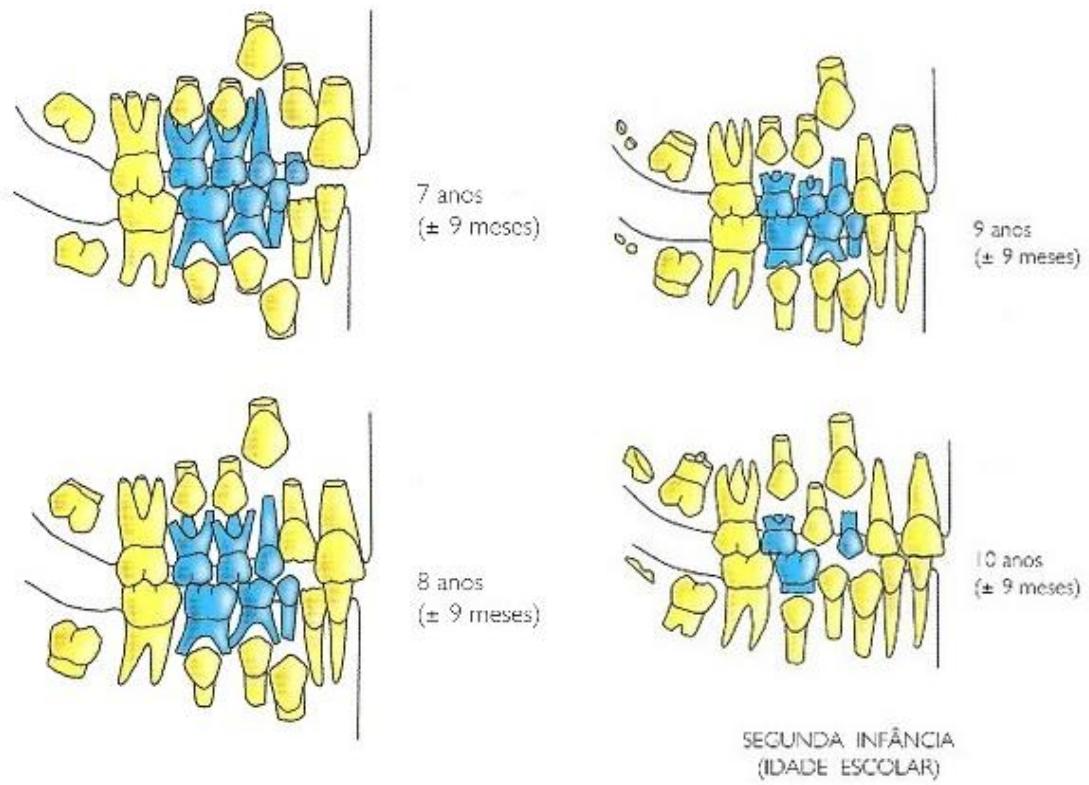
Anexo 3 - Representação da forma das arcadas em “U” (esquerda) e em “V” (direita).



Anexo 4 - Representação esquemática dos espaços interdentários.



Anexo 5 - Representação esquemática do espaço de deriva.



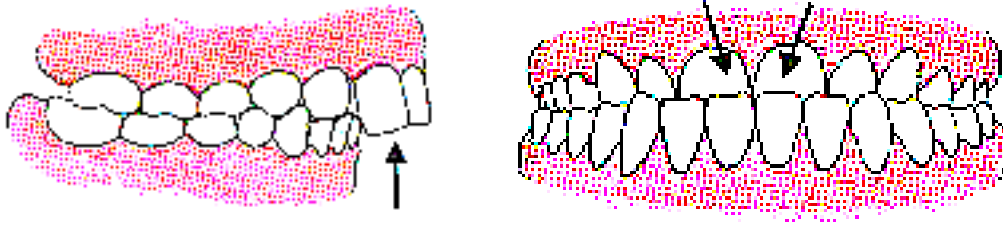
Anexo 6 - Representação esquemática do desenvolvimento da dentição humana e crescimento da arcada dentária.



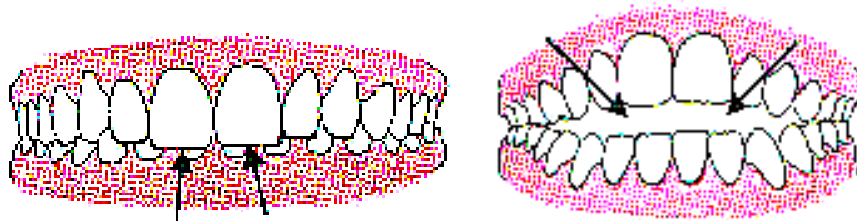
Anexo 7 - Representação esquemática da Curva de Spee.



Anexo 8 - Representação esquemática da Curva de Wilson.



Anexo 9 - Representação esquemática de overjet aumentado (esquerda) e diminuído (direita).



Anexo 10 - Representação esquemática de overbite aumentado (esquerda) e diminuído (direita).



Anexo 11 - Imagem clínica de discrepância dento-maxilar.



Anexo 12 - Imagem clínica de um primeiro molar decíduo anquilosado.



Anexo 13 - Imagem radiográfica de um primeiro molar decíduo anquilosado.



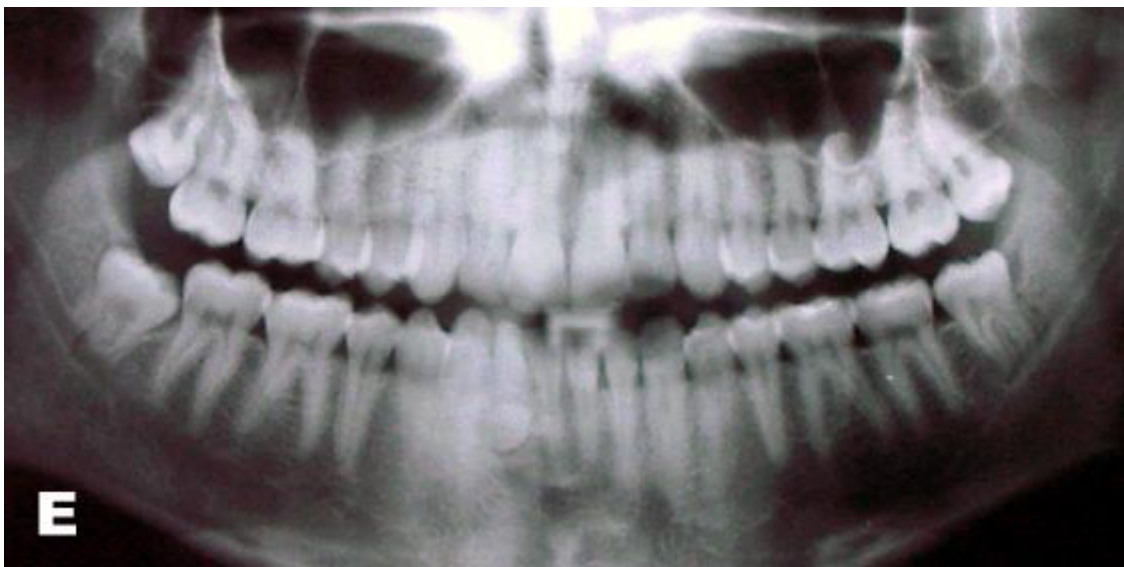
Anexo 14 - Imagem clínica de macrodontia do 1.1.



Anexo 15 - Imagem clínica de geminação de dente com excesso de ocupação de espaço.



Anexo 16 - Imagem clínica de um dente supranumerário na região anterior (mesiodens).



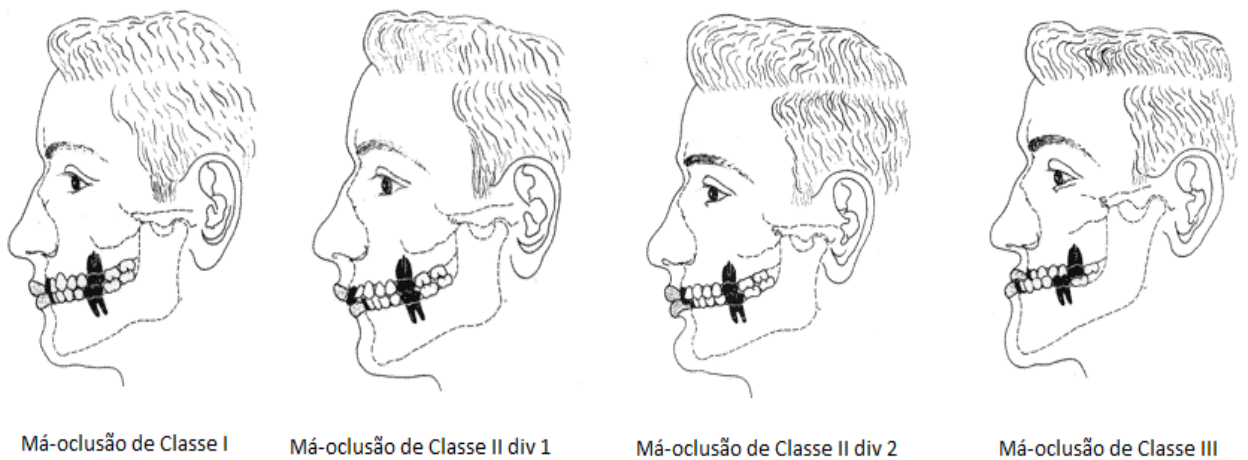
Anexo 17 - Imagem radiográfica de um dente supranumerário na região antero-inferior.



Anexo 18 - Imagem radiográfica da erupção ectópica do 1º molar permanente.



Anexo 19 - Compilação de formas de sucção digital (não nutritiva).



Anexo 20 - Representação esquemática dos vários tipos de má-oclusão.



Anexo 21 - Imagem clínica da situação de espaçamento generalizado entre os dentes anteriores.



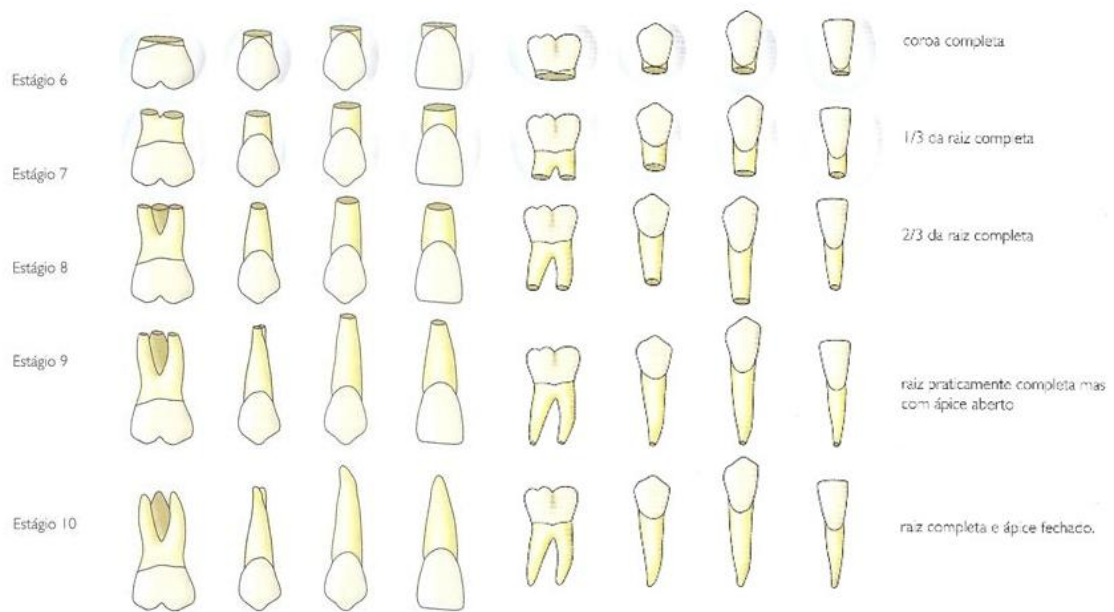
Anexo 22 - Imagem clínica da situação de diastema mediano superior, neste caso provocado pela presença de um mesiodens.



Anexo 23 - Imagem clínica de avulsão de um dente anterior por traumatismo.



Anexo 24 - Imagem clínica de cáries posteriores muito evoluídas.



Anexo 25 - Representação esquemática dos estádios de Nolla (estádio 6 a 10).



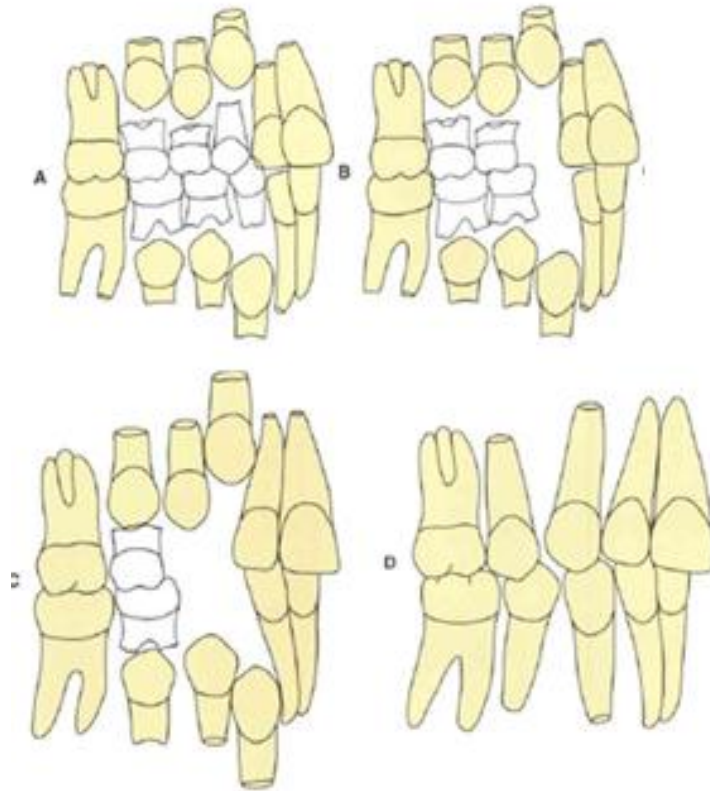
Anexo 26 - Imagem clínica de microdontia localizada no 2.2.



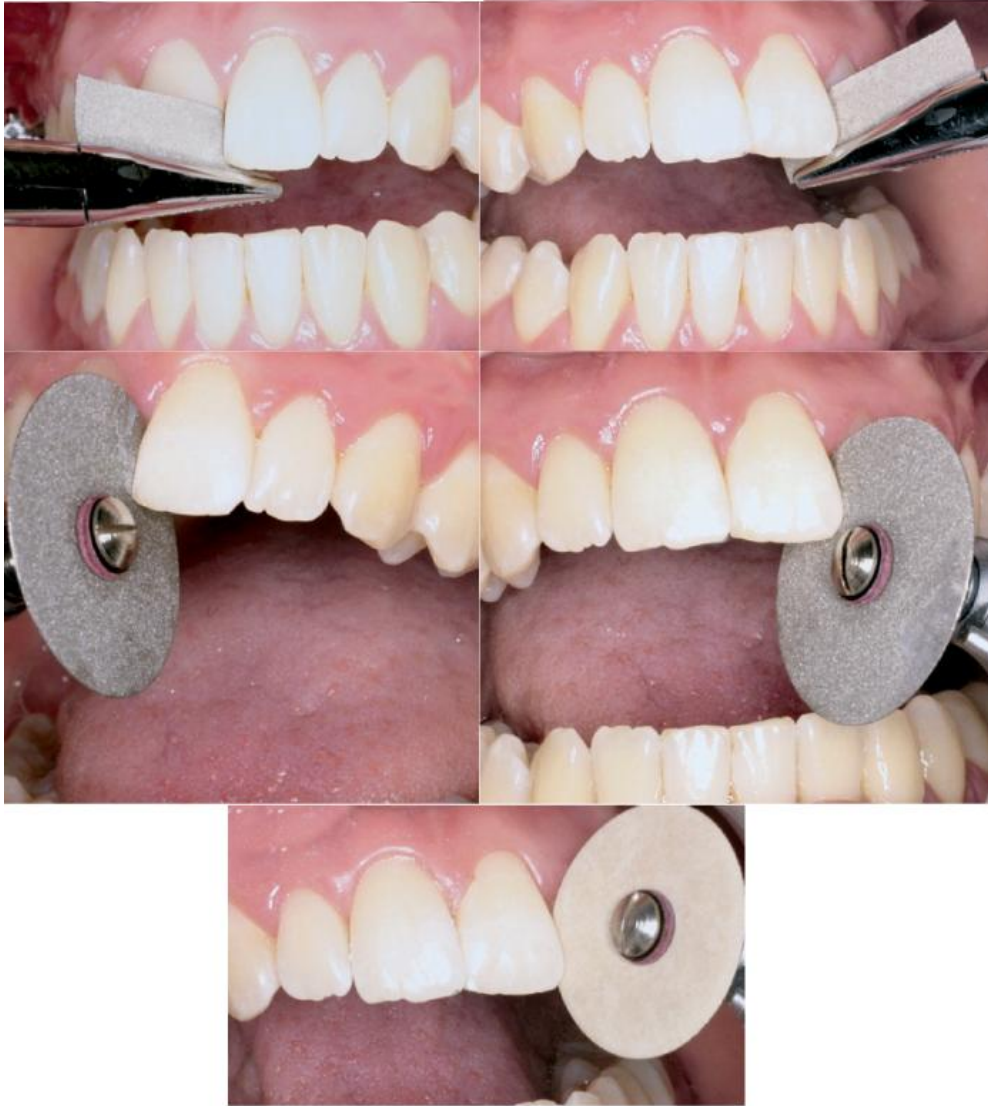
Anexo 27 - Imagem radiográfica de agenesia dos dentes 3.5 e 4.5.



Anexo 28 - Imagem representativa da susceptibilidade relativa das várias faces dos dentes decíduos ($A < B$; $B = C$; $C < D$; $D = E$; $E > F$; $BC < DE$; $CD < EF$).



Anexo 29 - Esquema ilustrativo da sequência padrão de extracções seriadas. **A**, o diagnóstico inicial é feito pela deficiência de espaço com apinhamento dos incisivos. **B**, exodontia dos caninos decíduos, fornecendo espaço para o alinhamento dos incisivos. **C**, exodontia dos primeiros molares decíduos quando o pré-molar se encontra no estágio 8 de Nolla para acelerar a sua erupção. **D**, exodontia do primeiro pré-molar aquando da sua erupção, com conseqüente espaço para a erupção dos caninos.



Anexo 30 - Sequência clínica dos procedimentos de "stripping" do 1.2.



Anexo 31 - Imagem laboratorial da banda adaptada e da asa conformada e imobilizada com cera.



Anexo 32 - Imagem laboratorial (esquerda e centro) e clínica (direita) de um mantenedor fixo a banda e asa numa vista oclusal, lateral e cimentado em boca.



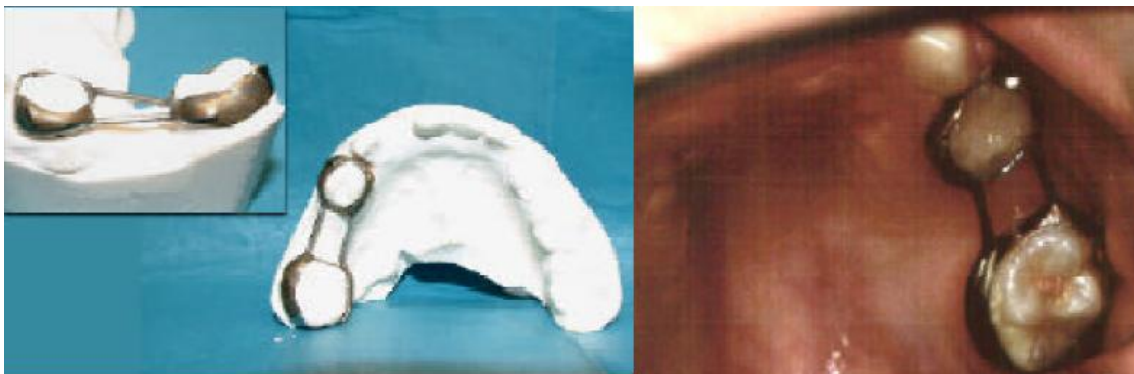
Anexo 33 - Mantenedor fixo a coroa e asa numa visão lateral e oclusal.



Anexo 34 - Mantenedor de Gerber.



Anexo 35 - Mantenedor de Mayne numa vista lateral e oclusal.



Anexo 36 - Mantenedor fixo a banda ou coroa com barra dupla numa vista lateral e oclusal.



Anexo 37 - Variações do mantenedor fixo a banda ou coroa com barra dupla numa vista lateral e oclusal.



Anexo 38 - Arco lingual numa visão oclusal no modelo e cimentado em boca.



Anexo 39 - Botão de Nance em visão oclusal no modelo e cimentado em boca.



Anexo 40 - Barra transpalatina ou de Goshgarian numa visão oclusal no modelo e cimentada em boca.



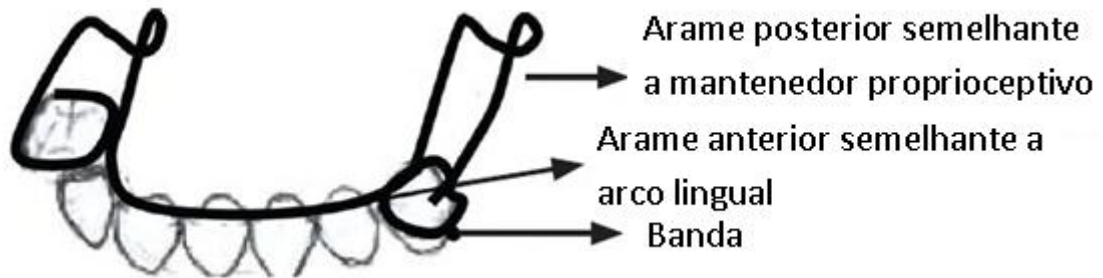
Anexo 41 - Mantenedor telescópico no modelo e pormenor do seu encaixe.



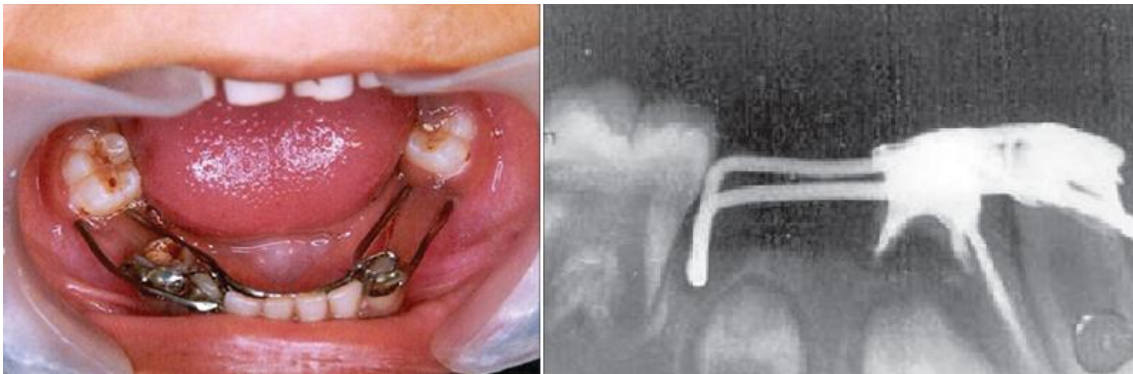
Anexo 42 - Mantenedor com guia eruptiva numa vista lateral.



Anexo 43 - Mantenedor proprioceptivo numa vista oclual e lateral.



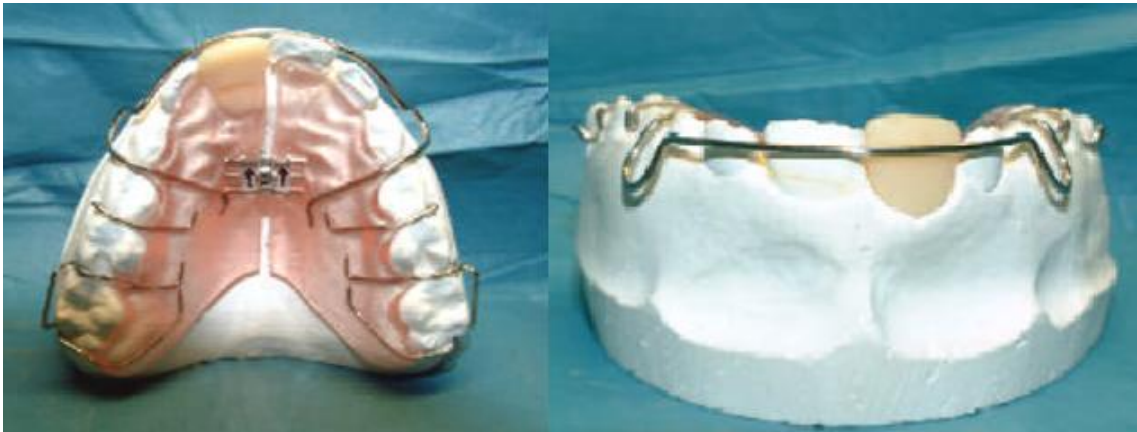
Anexo 44 - Esquema representativo do aparelho de Willet's Modificado.



Anexo 45 - Aparelho de Willet's Modificado cimentado em boca e em Rx periapical.



Anexo 46 - Vista oclusal e lateral de um mantenedor de espaço de fibra de vidro reforçado com resina.



Anexo 47 - Placa de Hawley Modificada numa visão oclusal e frontal.



Anexo 48 - Mantenedor termomoldável numa vista frontal e oclusal.



Anexo 49 - Recuperador a bandas e molas numa vista oclusal e lateral.



Anexo 50 - Duas variantes do recuperador de Gerber modificado.



Anexo 51 - Recuperador de Garcia-Godoy.



Anexo 52 – Dispositivo distalizador de molares, denominado Distal jet.



Anexo 53 - Dispositivo distalizador de molares, denominado Pêndulo em K.



Anexo 54 - Dispositivo distalizador de molares, denominado Headgear.



Anexo 55 - Placa activa modificada como recuperador de espaço.